

平面ひずみ条件での地盤の応力・変形解析

日本大学理工学部 正会員 浅川美利
同上 正会員 中山晴幸

はじめに

地盤の応力・変形解析に関する数値解析法としてのFEMが注目されて、いくつかの解析法や解析例が示されている。代表的な手法はDuncanらの手法であるが、例えば「ダイラタニーのあつかいについて不明確」とある。これららの手法の共通の問題として、応力・ひずみ関係などのように表現し、かつ解析へ導入するかという点があるが、それらの問題を含めて、シニアルで合理的な手法を考える必要があろう。理論的なアプローチの一方法として弾塑性解析があるが、塑性ポテンシャル、降伏関数が一致しないことや垂直条件にも疑問があることなどから、さらに検討を加える必要があろう。本報告はそのアプローチの第一歩として、土の応力・ひずみ関係から特に平面ひずみ条件下での中间主応力の影響を考慮し、直接的に解析を実行する手法について試みたものである。

1 応力・ひずみ関係のマトリックス定式化

正八面体上の応力・ひずみ関係を基礎として、数値解析に必要なマトリックス定式化を行なう。なお、詳しい式の展開は本文の目的ではないので文献¹⁾を参照していただきたい。体積変化は左盤とダイラタニーとに分離して考え、それらは重ね合わせ可能であると仮定する。基礎となる構成式は、官森²⁾の示した塑性変形時の応力比とひずみ増分比との関係、応力比とせん断ひずみ比と双曲線で表わした関係、さらに平均有効応力と左盤との関係である。これらの関係から、塑性ひずみ増分と正八面体応力増分とを結ぶ、塑性剛性マトリックス $[C^p]$ が得られる。

$$\begin{Bmatrix} d\sigma_p \\ d\gamma_p \end{Bmatrix} = \partial \left(\frac{g}{\sigma_m} \right) \cdot \frac{1}{g} \begin{bmatrix} \frac{\lambda}{(1+\epsilon_0)\sigma_m} + \frac{1}{g} (M - \frac{g}{\sigma_m}) \frac{1}{\partial \sigma_m} & \frac{1}{g} (M - \frac{g}{\sigma_m}) \frac{1}{\partial \gamma} \\ \frac{1}{\partial \sigma_m} & \frac{1}{\partial \gamma} \end{bmatrix} \begin{Bmatrix} d\sigma_m \\ d\gamma \end{Bmatrix} \quad (1)$$

ここで $g = \frac{GMu^2}{(Mu+G\gamma_0)^2}$ である。さらに正八面体上の応力とひずみを(2), (3), (4)式を用いて一般座標系に変換し、弹性ひずみ増分を考慮して 6×6 の大きさを持つ弾塑性剛性マトリックス $[C^{ep}]$ を得る。

$$\begin{Bmatrix} dE_x \\ dE_y \\ dE_z \\ d\gamma_{xy} \\ d\gamma_{yz} \\ d\gamma_{xz} \end{Bmatrix} = [T] \begin{Bmatrix} dE_1 \\ dE_2 \\ dE_3 \end{Bmatrix} \quad (2) \quad \begin{Bmatrix} dE_1 \\ dE_2 \\ dE_3 \end{Bmatrix} = [T_0] \begin{Bmatrix} d\sigma \\ d\gamma \end{Bmatrix} \quad (3) \quad \begin{Bmatrix} d\sigma_m \\ d\gamma \end{Bmatrix} = [Q_0] \begin{Bmatrix} d\sigma_x \\ d\sigma_y \\ d\sigma_z \\ d\gamma_{xy} \\ d\gamma_{yz} \\ d\gamma_{xz} \end{Bmatrix} \quad (4)$$

$$\{d\sigma\} = [T][T_0][C^{ep}][Q_0]\{d\sigma\} = [C^{ep}]\{d\sigma\} \quad (5)$$

2 平面ひずみ問題への拡張

(5)式の $[C^{ep}]$ では平面ひずみ問題を解くことはできないため、平面ひずみ問題の解析に必要な弾塑性剛性マトリックスを導びく。平面ひずみ条件である $dE_2 = 0$, $d\gamma_{xy} = 0$, $d\gamma_{yz} = 0$ を $[C^{ep}]$ へ導入すると、(3)式より(7)式を得。中间主応力を考慮しないとひずみ増分比が常に一定値となり、基礎構成式に矛盾しててしまう。したがって、中间主応力を解析上重要な要素とする。平面ひずみ条件下での中间主応力の影響を考慮するため、その関与度を他の応力成分 $d\sigma_x$, $d\sigma_z$, $d\gamma_{xz}$ で表わし、それらの関係を $[Q_0]$ へ導入した。得られた $[Q]$ は次

$$[Q] = \frac{1}{3} \begin{bmatrix} 1 - \frac{C_{21}}{C_{22}} & 1 - \frac{C_{23}}{C_{22}} & -\frac{C_{24}}{C_{22}} \\ \frac{\partial \gamma}{\partial \sigma_x} - \frac{\partial \gamma}{\partial \sigma_y} \cdot \frac{C_{21}}{C_{22}} & \frac{\partial \gamma}{\partial \sigma_x} - \frac{\partial \gamma}{\partial \sigma_y} \cdot \frac{C_{23}}{C_{22}} & \frac{\partial \gamma}{\partial \sigma_x} - \frac{\partial \gamma}{\partial \sigma_y} \cdot \frac{C_{24}}{C_{22}} \end{bmatrix} \quad (6)$$

式²である。サフィックス付のCはdoyと含めた弾塑性ためみ性マトリックスの成分を表す。計算で得られたdoy, doyを用いて、条件式(7)からθを算定して正八面体上でせん断応力の方向を決定する。

$$\frac{d\theta}{d\alpha} = \frac{\sqrt{2}}{2} \left\{ \cos(\theta + \alpha) - \sqrt{3} \sin(\theta + \alpha) \right\} \quad (7)$$

3 解析例

以上の展開ELEMに応用し数値解析した結果を示す。Fig.1は解析に用いた要素である。入力データー1は宮森の多軸圧縮試験結果²⁾のθ=30°を参考にしたものであるが、実験結果そのものではない。Fig.2~4には、平面ひずみ条件下での正八面体せん断応力の方向角θとせん断ひずみとの関係を要素別に表してある。Fig.2は載荷直下のNo.3, No.20を、Fig.3は中央部のNo.49, No.63を、Fig.4は表面部のNo.8, No.28を比較した。θの初期値は30°を設定したが、載荷直後すこし10°近い値まで低下する現象は、多くの要素に共通するようである。また、最終的にはそれぞれの要素で多少せん断ひずみが異なるが、表面近くの要素では10°~30°付近に著しくなる。平面ひずみ条件下の実験結果²⁾は、θは10°~30°の間であると言われている。しかし、一部の要素にはこのような傾向がないものもある。特に表面付近の要素は他の要素にくらべてθが特異な結果となっているが、これらには載荷直後からかなり大きな引張が生じているものが多く、そのような要素は破壊したと仮定して微少な強度に設定しなおしたため、このような結果が得られたものと考えられる。

まとめ

現在、このような特異な現象(たとえば引張りなど)の処理や、一部の傾向は良い検討、要素の改良(四角形要素)する作業を行なっており、講演時には報告したいと考えている。最後に、いつも有益な助言をいたしてある、宮森建築技術研究所に深く感謝いたします。また、二協力いただいた本学4年生江崎彰利、橋元 健吾君にも感謝いたします。

参考文献

- 浅川美利、中山晴幸：地盤の応力・変形解析に関する一考察、第12回工質工学会研究発表会講演集
- 宮森達樹：多軸応力状態における砂のせん断強さと変形特性、土木学会論文報告集No.255、1976

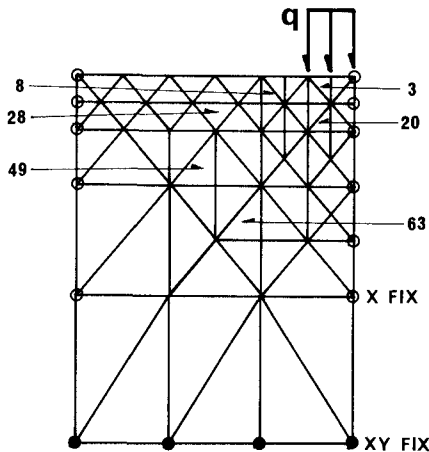


FIG.1

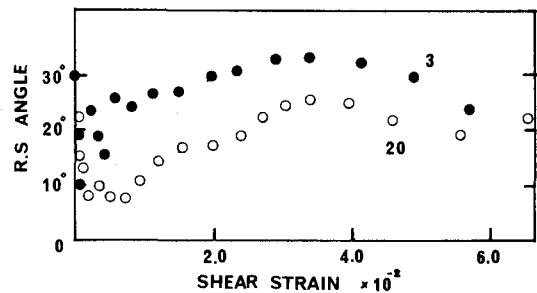


FIG.2

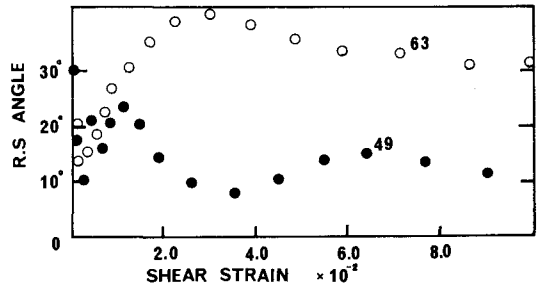


FIG.3

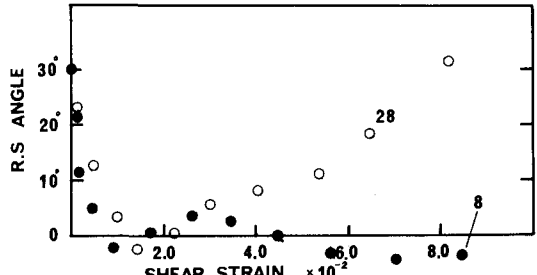


FIG.4